

Τηλεπικοινωνιακά Συστήματα Ι

Άσκηση 2 : Περιοδόγραμμα , Φασματική Πυκνότητα Ισχύος , Διαμόρφωση

Διδάσκων: Αθανάσιος Π. Λιάβας

Όνομα : Χρήστος Ζαχαριουδάκης

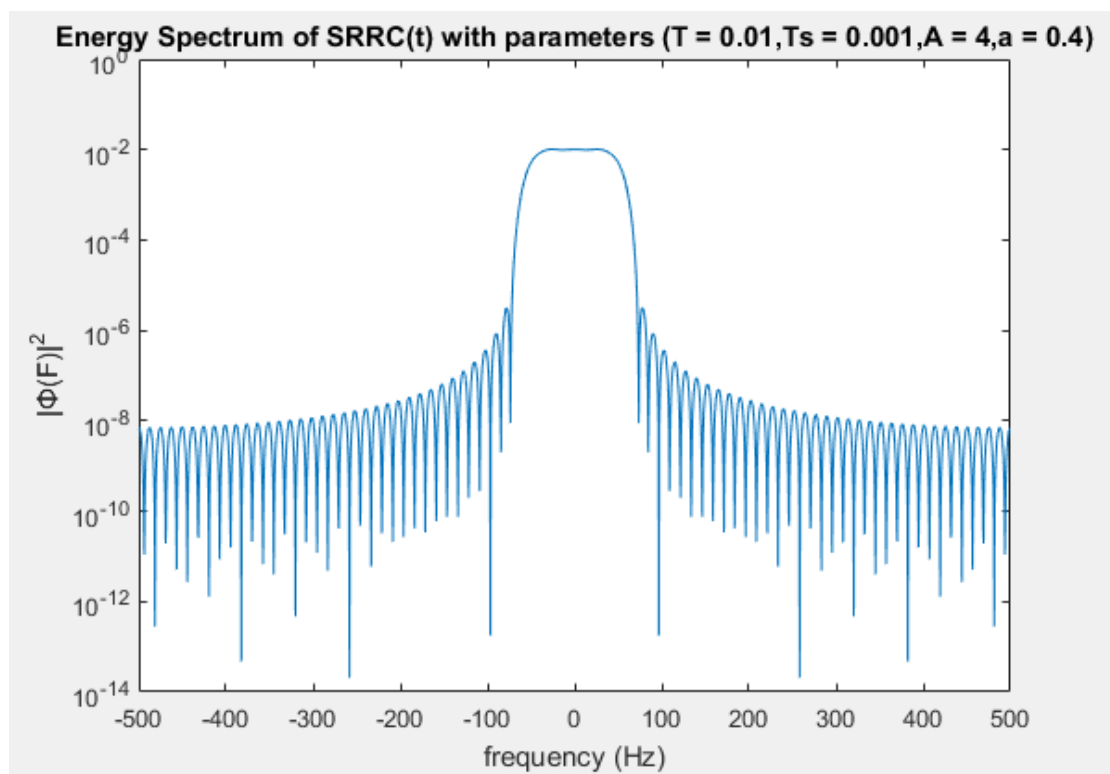
Αριθμός Μητρώου : 2014030056

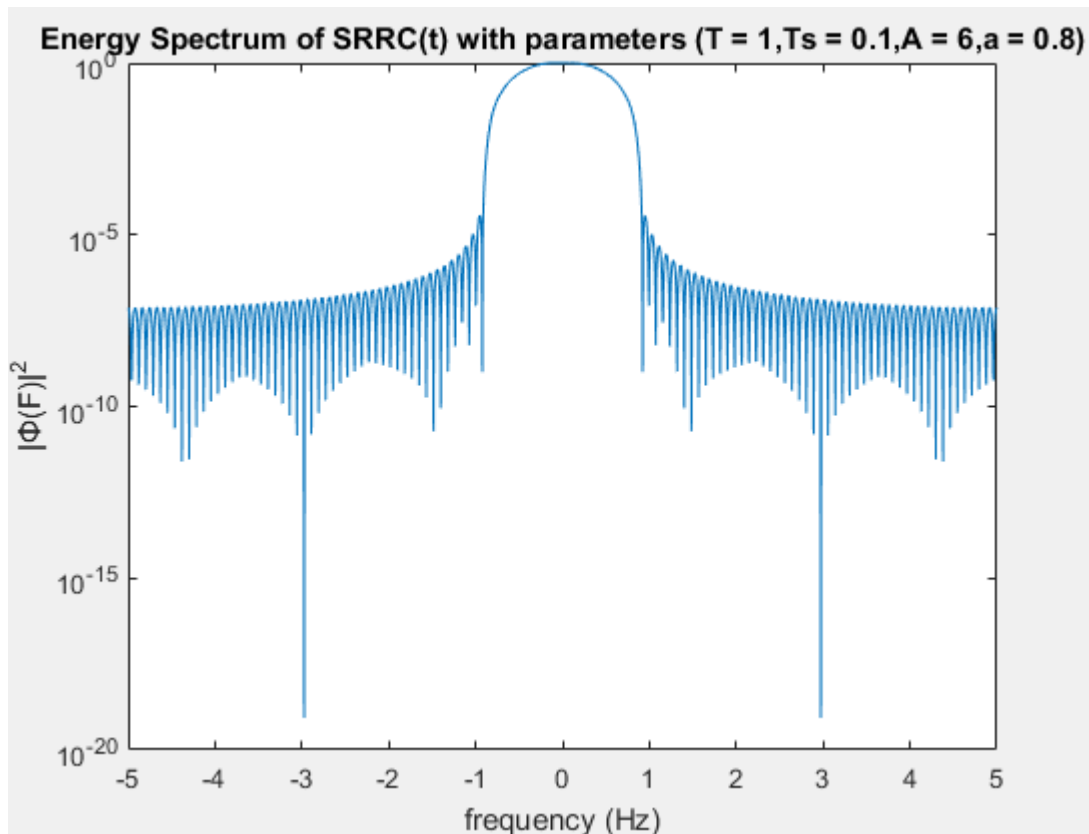
Ερώτημα :

A.1 Να δημιουργήσετε παλμό SRRC $\phi(t)$ με ενδεικτικές τιμές $T = 10^{-2}$, 1 sec, over = 10, $T_s = \frac{T}{\text{over}}$, $A = 4, 6$, και $a = 0.4, 0.8$.

(10) Μέσω της συνάρτησης fft, να υπολογίσετε το μέτρο του μετασχηματισμού Fourier της $\phi(t)$, $|\Phi(F)|$, σε N_f ισαπέχοντα σημεία στο διάστημα $[-\frac{F_s}{2}, \frac{F_s}{2})$.¹ Να σχεδιάσετε τη φασματική πυκνότητα ενέργειας $|\Phi(F)|^2$ με χρήση της εντολής semilogy.

Γραφικές Παραστάσεις :





Κώδικας :

%A1

Nf = 2048; % Αριθμός δειγμάτων

T = 0.01 ;

over = 10 ;

Ts = T/over ; % Περίοδος δειγματοληψίας

Fs = 1/Ts ; % Συχνότητα δειγματοληψίας

A = 4;

a = 0.4 ;

f_axis = [-1/2 : 1/Nf : 1/2 - (1/Nf)]; % Ανοικτό διάστημα δεξιά ,
κλειστό αριστερά

F_axis = f_axis*Fs;

[phi,t_phi] = srcc_pulse(T, Ts, A, a);

PHIF = fftshift(fft(phi,Nf)*Ts);

figure(1)

semilogy(F_axis,power(abs(PHIF),2))

title('Energy Spectrum of SRRC(t) with parameters (T = 0.01,Ts =
0.001,A = 4,a = 0.4)');

xlabel('frequency (Hz)');

ylabel('|Φ(F)|²');

%%%

T = 1 ;

over = 10 ;

```

Ts = T/over ; % Περίοδος δειγματοληψίας
Fs = 1/Ts ; % Συχνότητα δειγματοληψίας
A = 6;
a = 0.8 ;

f_axis = [-1/2 : 1/Nf : 1/2 - (1/Nf)]; % Ανοικτό διάστημα δεξιά ,
κλειστό αριστερά
F_axis = f_axis*Fs;

[phi,t_phi] = srcc_pulse(T, Ts, A, a);
PHIF = fftshift(fft(phi,Nf)*Ts);

figure(2)
semilogy(F_axis,power(abs(PHIF),2))
title('Energy Spectrum of SRRC(t) with parameters (T = 1,Ts = 0.1,A =
6,a = 0.8)');
xlabel('frequency (Hz)');
ylabel('|\Phi(F)|^2');

```

Σχόλια :

Στο ερώτημα δημιουργήθηκαν δύο παλμοί SRRC με τιμές

- (T = 0.01 , Ts = 0.001 , A = 4 , a = 0.4)
- (T = 1 , Ts = 0.1 , A = 6 , a = 0.8)

Για την κατασκευή αυτών των παλμών χρησιμοποιήθηκε η συνάρτηση **srcc_pulse** , που δόθηκε κατά την προηγούμενη άσκηση . Στην συνέχεια , βρέθηκε ο μετασχηματισμός Fourier κάθε παλμού με την χρήση των συναρτήσεων **fft** και **fftshift** της Matlab , σε N_f ισαπέχοντα διαστήματα στο διάστημα $[-F_s/2, F_s/2)$. Επιλέχθηκε η τιμή $N_f = 2048$ δείγματα , ώστε να αποφευχθούν παραμορφώσεις για τις τιμές over και N (βλ. A.2) , που επιλέξαμε . Στην συνέχεια υπολογίστηκε η φασματική πυκνότητα ενέργειας $(|\Phi(F)|^2)$ του κάθε παλμού και σχεδιάστηκε σε ημιλογαριθμική κλίμακα με χρήση της συνάρτησης **semilogy** , σε διαφορετικό πλαίσιο.

Στο υπόλοιπο της εργασίας , όπου $\Phi(t)$ και $\Phi(F)$, θα θεωρούμε τον παλμό με παραμέτρους (T = 1 , Ts = 0.1 , A = 6 , a = 0.8) .

Ερώτημα :

A.2 Να δημιουργήσετε ακολουθία N (ενδεικτικά, $N = 50, 100$) ανεξάρτητων και ισοπίθανων bits b_0, \dots, b_{N-1} .

Χρησιμοποιώντας την απεικόνιση

$$0 \longrightarrow +1,$$

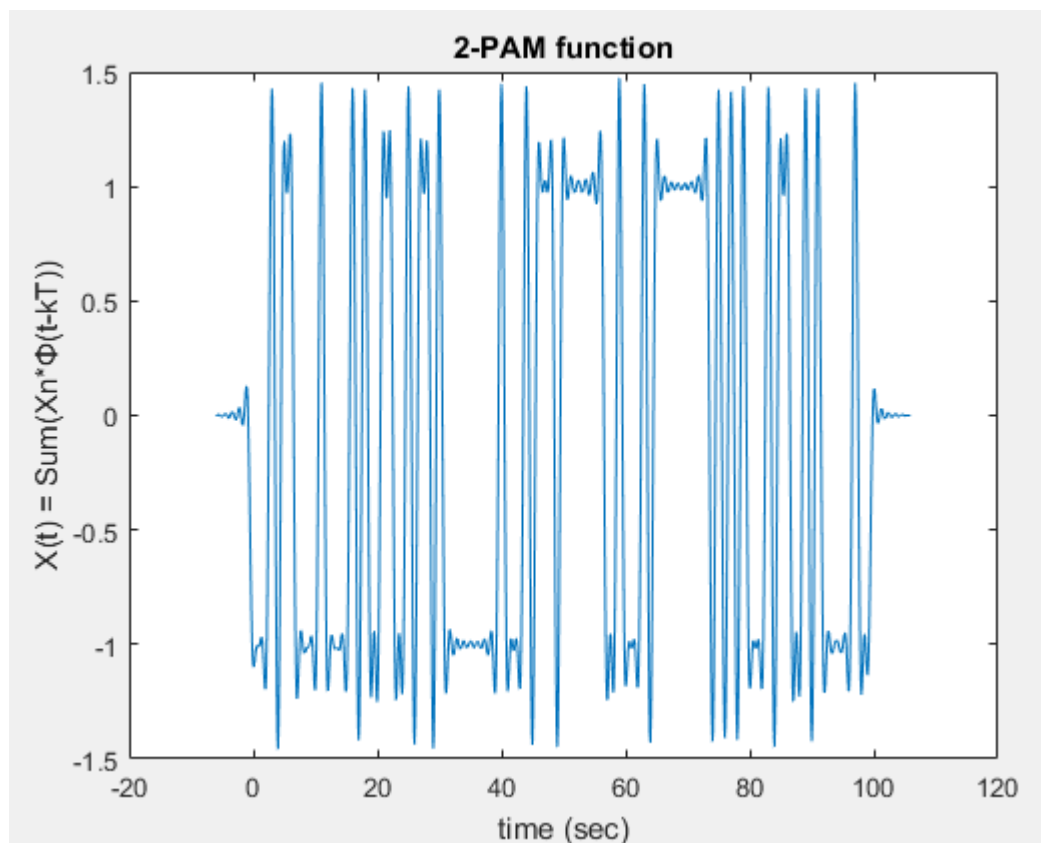
$$1 \longrightarrow -1,$$

να απεικονίσετε τα bits σε σύμβολα X_n , για $n = 0, \dots, N - 1$.

Να κατασκευάσετε την κυματομορφή

$$X(t) = \sum_{n=0}^{N-1} X_n \phi(t - nT).$$

Γραφικές Παραστάσεις :



Κώδικας :

```
N = 100 ;
```

```
%%%%%%%%%%%% Δημιουργία 2-PAM συνάρτησης %%%%%%%%%%%%%%  
[tx,X_t] = PAM2_function(N,Ts,over,phi,t_phi) ;
```

```
figure(3)  
plot(tx,X_t)  
title('2-PAM function');  
xlabel('time (sec)');  
ylabel('X(t) = Sum(Xn*Phi(t-kT))');
```

Σχόλια :

Για την υλοποίηση του ερωτήματος , χρησιμοποιήθηκε μία συνάρτηση , η οποία λαμβάνει ως όρισμα το μήκος της ακολουθίας των bits , η περίοδος δειγματοληψίας T_s , το *over* , ένας παλμός *phi* και ο αντίστοιχος χρόνος του . Η συνάρτηση ονομάζεται *PAM2_function* και επιστρέφει ένα σήμα με διαμόρφωση 2-PAM και τον αντίστοιχο χρόνο του . Η κατασκευή του σήματος σε διαφορετική συνάρτηση κρίθηκε απαραίτητη , καθώς στην συνέχεια της άσκησης απαιτείται επανειλημμένα η κατασκευή σήματος με διαμόρφωση 2-PAM για πολλές διαφορετικές ακολουθίες bits. Με την χρήση συνάρτησης αποφεύγεται η άσκοπη επανάληψη κώδικα . Ομοίως έχει κατασκευαστεί συνάρτηση για διαμόρφωση 4-PAM παρακάτω . Ο κώδικας της βρίσκεται στο τέλος της αναφοράς .

Στην συνάρτηση PAM2_function:

Κατασκευάστηκε μια ακολουθία μήκους $N = 100$ ανεξάρτητων και ισοπίθανων bits με χρήση της εντολής $b = (\text{sign}(\text{randn}(N, 1)) + 1) / 2;$.

Έπειτα χρησιμοποιώντας την απεικόνιση

$$0 \longrightarrow +1,$$

$$1 \longrightarrow -1,$$

προκύπτει μια ακολουθία συμβόλων X_n , για $n = 0, \dots, N - 1$, σε ένα διάνυσμα X με χρήση της συνάρτησης **bits_to_2PAM**, η οποία κατασκευάστηκε στο πλαίσιο της προηγούμενης άσκησης. Έπειτα με την χρήση της εντολής $X_delta = 1/T_s * \text{upsample}(X, \text{over});$ προσομοιώθηκαν μετατοπισμένες συναρτήσεις **dirac** (**over** μηδενικά ανάμεσα σε κάθε τιμή του X), ύψους όσο το αντίστοιχο σύμβολο επί την συχνότητα δειγματοληψίας F_s . Για την κατασκευή του τελικού σήματος έγινε συνέλιξη της X_delta με την $\Phi(t)$, με αποτέλεσμα να προκύψει το επιθυμητό $X(t)$

$$X(t) = \sum_{n=0}^{N-1} X_n \phi(t - nT).$$

το οποίο η συνάρτηση επιστρέφει και το σχεδιάζουμε με την συνάρτηση **plot** στον κύριο κώδικα.

Ερώτημα :

A.3 (10) Με χρήση της εντολής **fft**, να υπολογίσετε το περιοδόγραμμα της $X(t)$

$$P_X(F) = \frac{|\mathcal{F}[X(t)]|^2}{T_{\text{total}}}$$

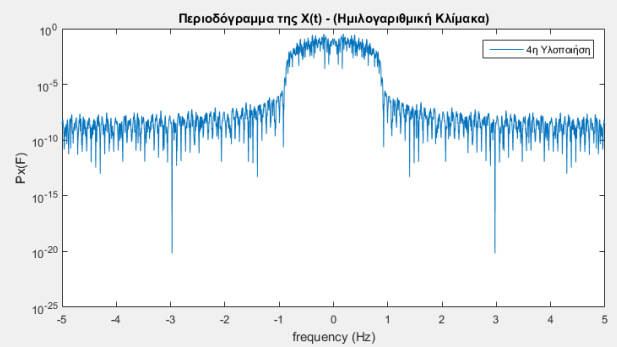
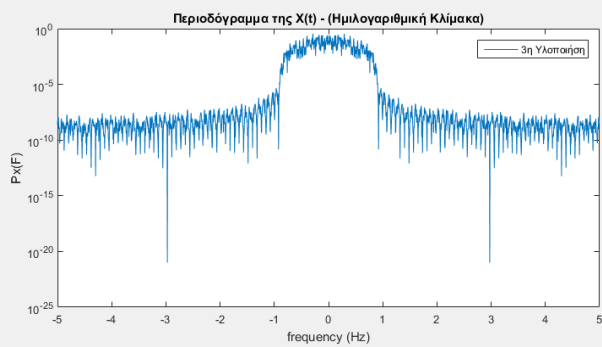
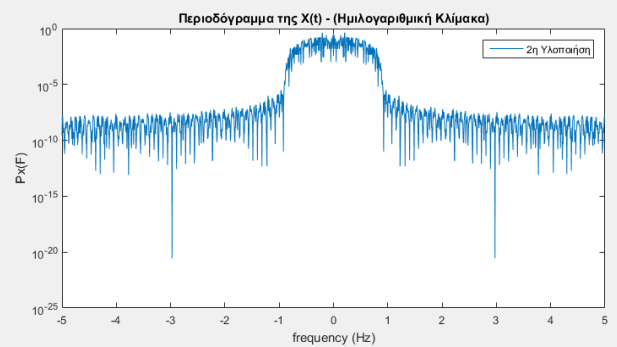
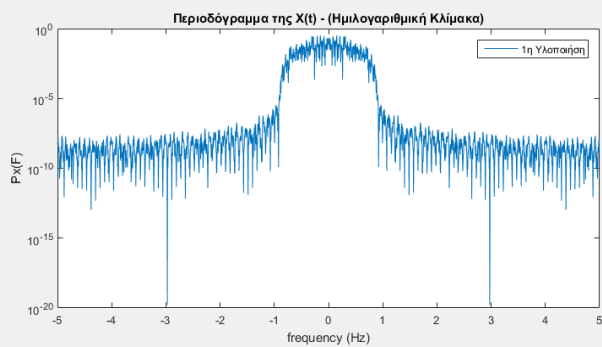
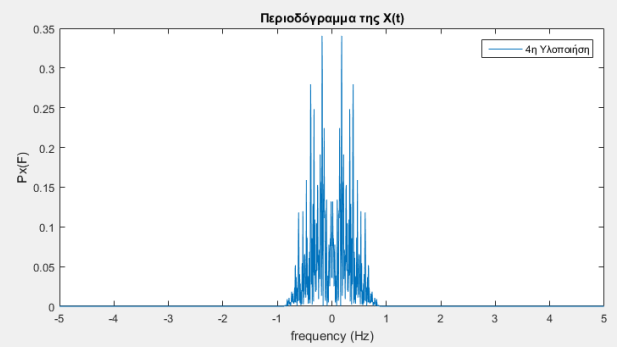
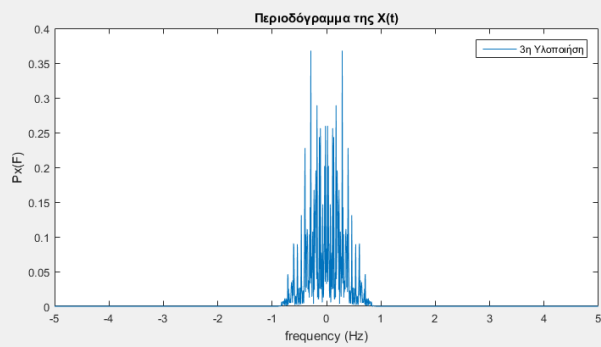
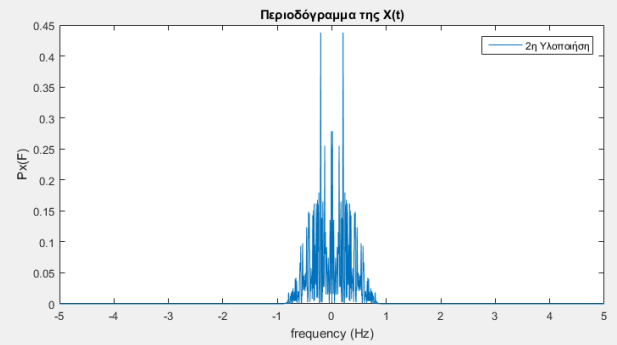
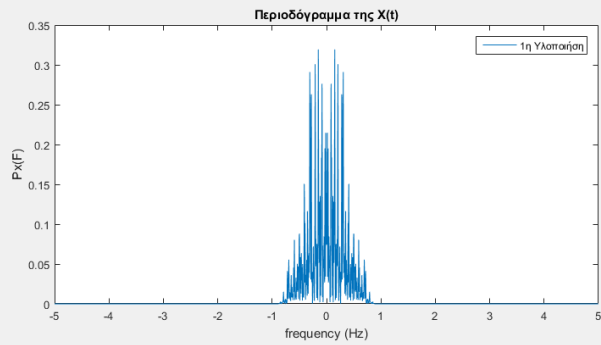
όπου T_{total} είναι ο συνολικός χρόνος διάρκειας της $X(t)$ σε sec. Να σχεδιάσετε το $P_X(F)$ με χρήση **plot** και **semilogy**.

Να επαναλάβετε για διάφορες υλοποιήσεις της ακολουθίας bits $\{b_0, \dots, b_{N-1}\}$, ώστε να αποκτήσετε μία καλή εικόνα σχετικά με το πώς μοιάζει το περιοδόγραμμα υλοποιήσεων της $X(t)$.

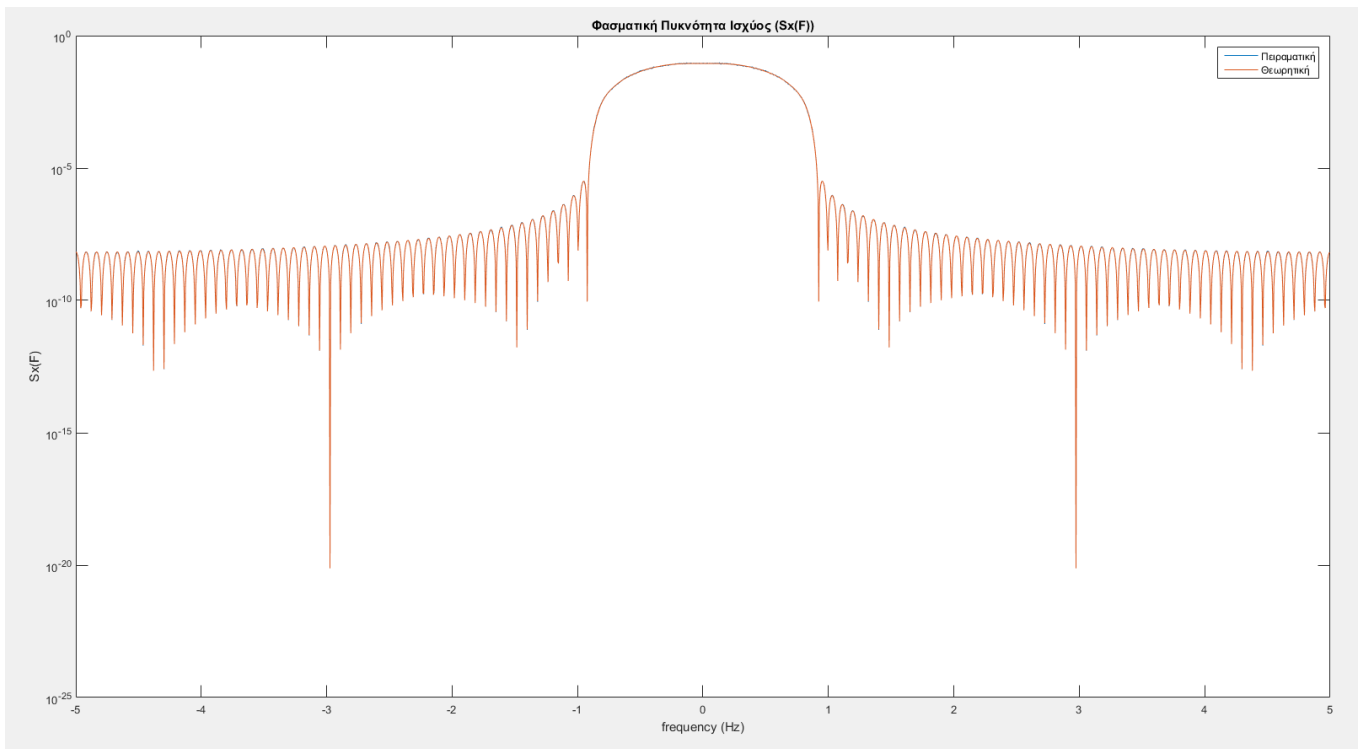
(10) Να εκτιμήσετε τη φασματική πυκνότητα ισχύος υπολογίζοντας αριθμητικές μέσες τιμές πάνω σε K (ενδεικτικά, $K = 100, 1000$) υλοποιήσεις περιοδογραμμάτων. Να σχεδιάσετε σε κοινό **semilogy** την εκτίμηση και τη θεωρητική² φασματική πυκνότητα ισχύος.

(10) Όσο αυξάνετε το K και το N θα πρέπει η προσέγγιση να γίνεται καλύτερη. Συμβαίνει αυτό στα πειράματά σας; Αν ναι, μπορείτε να εξηγήσετε το φαινόμενο;

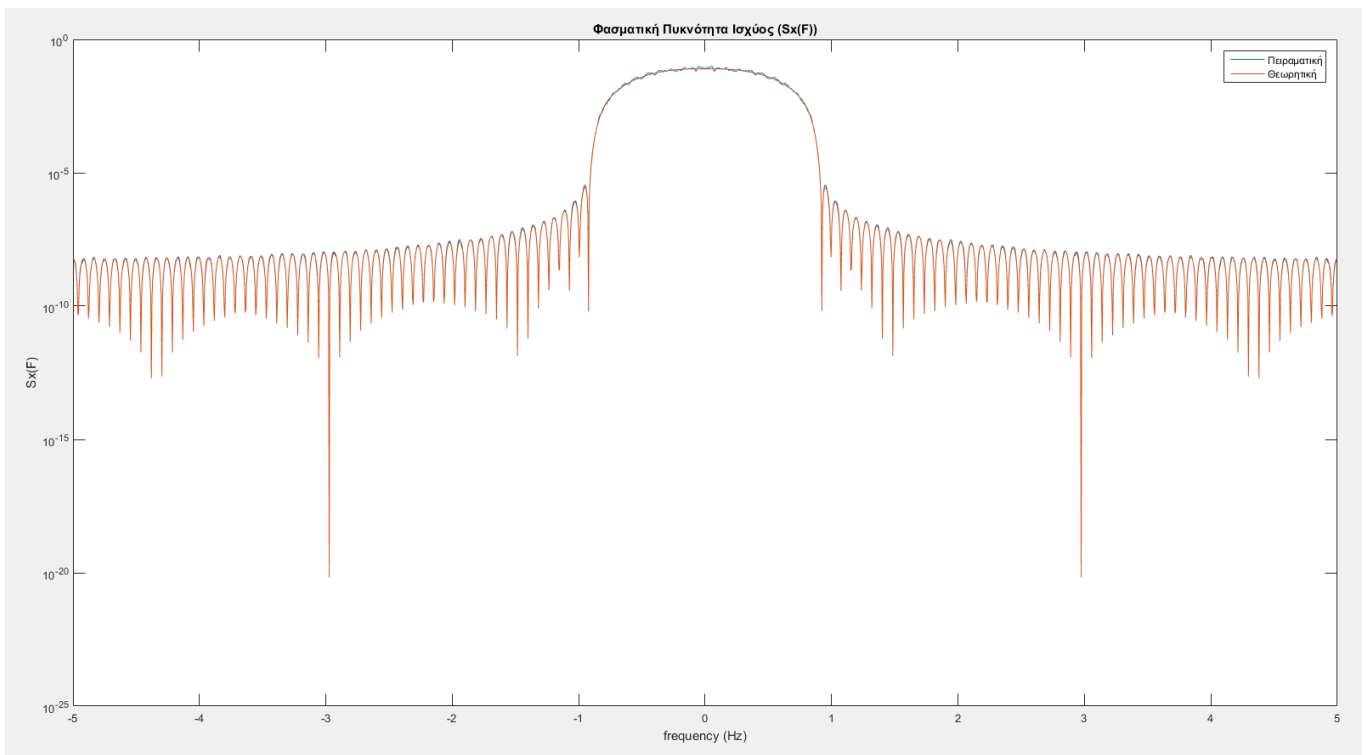
Γραφικές Παραστάσεις : (α)



(β)



(γ)



Κώδικας :

```
% (α)

NUMOFIMPL = 4 ;

for i=1:NUMOFIMPL
    [tx ,X_t] = PAM2_function(N,Ts,over,phi,t_phi) ;
    Ttotal = length(tx);
    XF = fftshift(fft(X_t,Nf)*Ts);

    PXF = power(abs(XF),2)/Ttotal ;

    figure(4)
    subplot(2,2,i)
    plot(F_axis,PXF)
    title(['Περιοδόγραμμα της X(t)'])
    legend([num2str(i) , 'η Υλοποίηση'])
    xlabel('frequency (Hz)');
    ylabel('Px(F)');

    figure(5)
    subplot(2,2,i)
    semilogy(F_axis,PXF)
    title(['Περιοδόγραμμα της X(t) - (Ημιλογαριθμική Κλίμακα)'])
    legend([num2str(i) , 'η Υλοποίηση'])
    xlabel('frequency (Hz)');
    ylabel('Px(F)');
end

% (β)

N = 100 ;
K = 1000 ;

for i=1:K
    [tx ,X_t] = PAM2_function(N,Ts,over,phi,t_phi) ;
    Ttotal = length(tx);
    XF = fftshift(fft(X_t,Nf)*Ts);
    PXFs(i,:) = power(abs(XF),2)/Ttotal ;
end

SxFapprox = (sum(PXFs,1)./ K) ; % Είναι η μέση τιμή κάθε στήλης του
πίνακα δηλαδή μιας τιμή από κάθε περιοδόγραμμα
Sxftheory = (var(X_t)/T ) * power(abs(PHIF),2)*Ts ;

figure(6);
semilogy(F_axis, SxFapprox);
title('Φασματική Πυκνότητα Ισχύος (Sx(F))');
xlabel('frequency (Hz)');
ylabel('Sx(F)');
hold on ;
semilogy(F_axis,Sxftheory);
legend('Πειραματική','Θεωρητική');
hold off ;
```


Σχόλια :

(α)

Για να έχουμε μια καλή εικόνα για την μορφή του περιοδογράμματος υλοποιήσεων της $X(t)$, το υπολογίσουμε για διάφορες υλοποιήσεις της ακολουθίας των bits . Συγκεκριμένα θα υπολογιστεί για 4 υλοποιήσεις , οι οποίες θα παρουσιαστούν σε κοινό plot , αλλά σε ξεχωριστό subplot . Το περιοδόγραμμα θα εμφανιστεί σε γραμμική και ημιλογαριθμική κλίμακα , σε ξεχωριστά plot . Ο υπολογισμός γίνεται με χρήση του τύπου

$$P_X(F) = \frac{|\mathcal{F}[X(t)]|^2}{T_{\text{total}}}$$

όπου T_{total} ο συνολικός χρόνος διάρκειας της $X(t)$. Το περιοδόγραμμα δείχνει την κατανομή της ισχύος της συνάρτησης $X(t)$ στο πεδίο της συχνότητας. Παρατηρούμε ότι η κυματομορφή του παρουσιάζει ομοιότητες με την κυματομορφή της φασματικής πυκνότητας ενέργειας της $\Phi(t)$, που σχεδιάστηκε στο ερώτημα A.1 , σε ότι αφορά την μορφή της .

(β)

Στην συνέχεια ζητείται ο υπολογισμός της φασματικής πυκνότητας ισχύος $S_X(F)$ της $X(t)$ με δύο μεθόδους :

1. **Προσεγγιστική μέθοδος** : υπολογίζοντας αριθμητικές μέσες τιμές πάνω σε K υλοποιήσεις περιοδογραμμάτων .
2. **Θεωρητική μέθοδος** : Χρήση του τύπου : $S_X(F) = \frac{\sigma_X^2}{T} |\Phi(F)|^2$.

1. Για τον προσεγγιστικό υπολογισμό της $S_X(F)$, χρησιμοποιείται ένας βρόγχος for , ο οποίος επαναλαμβάνεται K φορές . Για μεγαλύτερη ακρίβεια επιλέχθηκε $K = 1000$. Σε κάθε επανάληψη εκτελείται η συνάρτηση `PAM2_function` , η οποία επιστρέφει μια 2-PAM συνάρτηση για K διαφορετικές ακολουθίες N bits . Σε κάθε επανάληψη i , υπολογίζεται το περιοδόγραμμα και αποθηκεύεται στην i θέση του πίνακα `PXFs` . Όταν πλέον ολοκληρωθεί ο βρόγχος , κάθε γραμμή του πίνακα θα περιλαμβάνει ένα διάνυσμα που θα είναι το περιοδόγραμμα μιας από τις K συναρτήσεις $X(t)$. Τέλος , μετά τον βρόγχο υπολογίζουμε την μέση τιμή κάθε στήλης του πίνακα δηλαδή το άθροισμα μιας τιμής από κάθε περιοδόγραμμα δια το πλήθος των περιοδογραμμάτων. Η παραπάνω διαδικασία συνοψίζεται στην σχέση

$$\hat{S}_X(F) = \frac{1}{N} \sum_{i=1}^N \frac{|X(\omega_i, F)|^2}{T}.$$

όπου N ο αριθμός των υλοποιήσεων των περιοδογραμμάτων , δηλαδή εδώ $N = K$.

2. Χρήση της εντολής `Sxftheory = (var(X_t)/T) * power(abs(PHIF),2)*Ts`

Έπειτα σχεδιάζουμε τις δύο κυματομορφές σε ημιλογαριθμική κλίμακα , σε κοινή γραφική παράσταση και παρατηρούμε ότι ταυτίζονται σχεδόν απόλυτα με τις αποκλίσεις να φαίνονται καλύτερα με χρήση μεγέθυνσης .

(γ)

Με την αύξηση των περιοδογραμμάτων (K) και του μήκους της ακολουθίας bits (N) , αναμένουμε η προσέγγιση να γίνεται καλύτερη . Για να εξεταστεί αν αυτό επιβεβαιώνεται πειραματικά , τρέχουμε τον κώδικα του παραπάνω ερωτήματος με $K = 100$ και $N = 50$. Πράγματι , παρόλο που οι κυματομορφές εξακολουθούν να ταυτίζονται σημαντικά , παρατηρούμε αποκλίσεις , οι οποίες διακρίνονται εύκολα χωρίς μεγέθυνση . Το φαινόμενο αυτό εξηγείται καθώς με την αύξηση του αριθμού των περιοδογραμμάτων , η υπολογισμός της μέσης τιμής γίνεται πολύ πιο ακριβής . Η αύξηση του μήκους της ακολουθίας των bits επηρεάζει την ταύτιση των δύο υπολογισμών , καθώς ο θεωρητικός υπολογισμός προϋποθέτει ότι έχουμε άπειρο αριθμό συμβόλων . Επομένως όσο το μήκος της ακολουθίας αυξάνεται , δηλαδή τείνει στο άπειρο , τόσο πιο σωστός προκύπτει ο θεωρητικός υπολογισμός .

Ερώτημα :

A.4 Χρησιμοποιώντας την απεικόνιση

$$00 \longrightarrow +3$$

$$01 \longrightarrow +1$$

$$11 \longrightarrow -1$$

$$10 \longrightarrow -3$$

να κατασκευάσετε την ακολουθία 4-PAM X_n , για $n = 0, \dots, \frac{N}{2} - 1$. Παρατηρήστε ότι, αν τα bits είναι ισοπίθανα, τότε και τα σύμβολα X_n είναι ισοπίθανα!

Να κατασκευάσετε την κυματομορφή

$$X(t) = \sum_{n=0}^{\frac{N}{2}-1} X_n \phi(t - nT)$$

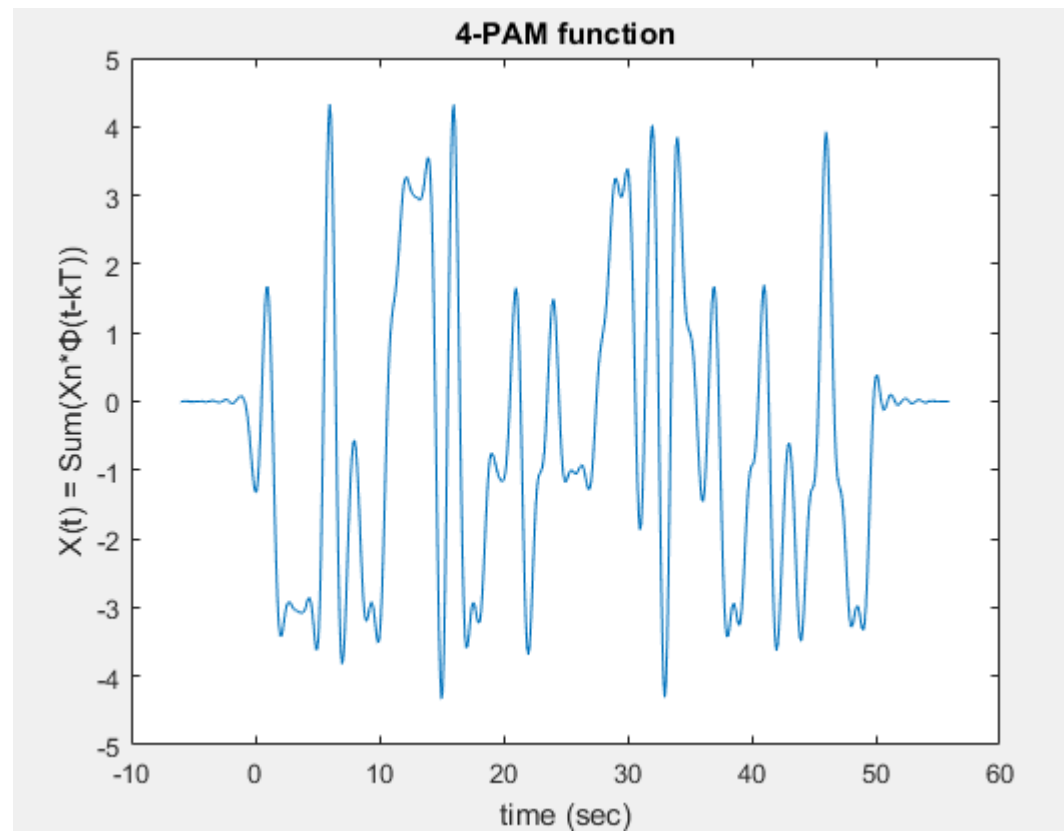
χρησιμοποιώντας την ίδια περίοδο T με το ερώτημα A.2.

(10) Να υπολογίσετε το περιοδόγραμμα και να εκτιμήσετε τη φασματική πυκνότητα ισχύος μέσω αριθμητικών μέσων τιμών υλοποιήσεων περιοδογραμμάτων της $X(t)$. Να σχεδιάσετε την πειραματική και την θεωρητική φασματική πυκνότητα ισχύος στο ίδιο semilogy. Τι παρατηρείτε;

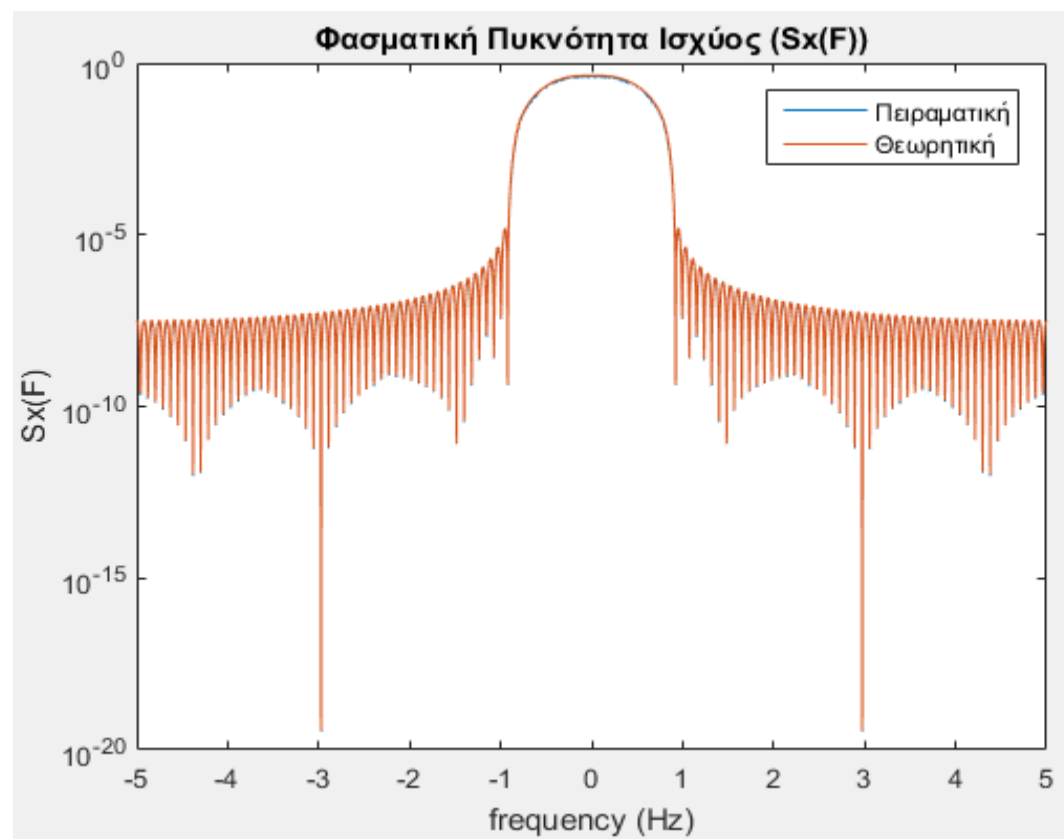
(10) Πώς συγκρίνεται, ως προς το εύρος φάσματος και ως προς το μέγιστο πλάτος τιμών, η φασματική πυκνότητα ισχύος της $X(t)$ σε σχέση με αυτή της $X(t)$ του βήματος A.2; Μπορείτε να εξηγήσετε τα αποτελέσματα της σύγκρισης;

Γραφικές Παραστάσεις :

(α)



(β)



Κώδικας :

```
% (α)

N = 100 ;

%%%%%%%%%%%%%%%%%%%%%%%%%%%%%%%%%%%%%%%%%%%%%%%%%%%%%%%%%%%%%%%%%%%%%%%% Δημιουργία 4-PAM συνάρτησης %%%%%%%%%%%%%%%%%%%%%%%%%%%%%%%%%%%%%%%%%%%%%%%%%%%%%%%%%%%%%%%%%%%%%%%%%
[tx ,X_t] = PAM4_function (N,Ts,over,phi,t_phi) ;

figure(7)
plot(tx,X_t)
title('4-PAM function');
xlabel('time (sec)');
ylabel('X(t) = Sum(Xn*Φ(t-kT))');

% (β)

N = 100 ;
K = 1000 ;

for i=1:K
    % PXFs = zeros (100,length(F_axis)) ;
    [tx ,X_t] = PAM4_function(N,Ts,over,phi,t_phi) ;
    Ttotal = length(tx);
    XF = fftshift(fft(X_t,Nf)*Ts);
    PXFs(i,:) = power(abs(XF),2)/Ttotal ;
end

SxFapprox = (sum(PXFs,1)./ K) ;
Sxftheory = (var(X_t)/T ) * power(abs(PHIF),2)*Ts ;

figure(8);
semilogy(F_axis,SxFapprox);
title('Φάσματική Πυκνότητα Ισχύος (Sx(F))');
xlabel('frequency (Hz)');
ylabel('Sx(F)');
hold on ;
semilogy(F_axis,Sxftheory);
legend ('Πειραματική','Θεωρητική');
hold off ;
```

Σχόλια :

(α)

Για την πραγματοποίηση του ερωτήματος , χρησιμοποιήθηκε μία συνάρτηση , η οποία λαμβάνει ως όρισμα το μήκος της ακολουθίας των bits , η περίοδος δειγματοληψίας T_s , το over , ένας παλμός phi και ο αντίστοιχος χρόνος του . Η συνάρτηση ονομάζεται PAM4_function και επιστρέφει ένα σήμα με διαμόρφωση 4-PAM και τον αντίστοιχο χρόνο του . Η κατασκευή του σήματος σε διαφορετική συνάρτηση κρίθηκε απαραίτητη , καθώς στην συνέχεια της άσκησης απαιτείται επανειλημμένα η κατασκευή σήματος με διαμόρφωση 4-PAM για διαφορετικές ακολουθίες bits . Ο κώδικας της βρίσκεται στο τέλος της αναφοράς .

Στην συνάρτηση PAM4_function:

Κατασκευάστηκε μια ακολουθία μήκους $N/2 = 50$ ανεξάρτητων και ισοπίθανων bits με χρήση της εντολής $b = (\text{sign}(\text{randn}(N/2,1))+1)/2;$.

Έπειτα χρησιμοποιώντας την απεικόνιση

$$00 \longrightarrow +3$$

$$01 \longrightarrow +1$$

$$11 \longrightarrow -1$$

$$10 \longrightarrow -3$$

προκύπτει μια ακολουθία συμβόλων X_n , για $n = 0 , \dots , N/2 - 1$, σε ένα διάνυσμα X με χρήση της συνάρτησης **bits_to_4PAM** , η οποία κατασκευάστηκε στο πλαίσιο της προηγούμενης άσκησης . Έπειτα με την χρήση της εντολής $X_delta = 1/T_s * \text{upsample}(X, \text{over});$ προσομοιώθηκαν μετατοπισμένες συναρτήσεις **dirac** (over μηδενικά ανάμεσα σε κάθε τιμή του X) , ύψους όσο το αντίστοιχο σύμβολο επι την συχνότητα δειγματοληψίας F_s . Για την κατασκευή του τελικού σήματος έγινε συνέλιξη της X_delta με την $\Phi(t)$, με αποτέλεσμα να προκύψει το επιθυμητό $X(t)$

$$X(t) = \sum_{n=0}^{\frac{N}{2}-1} X_n \phi(t - nT)$$

το οποίο η συνάρτηση επιστρέφει και το σχεδιάζουμε με την συνάρτηση **plot** στον κύριο κώδικα .

(β)

Στην συνέχεια ζητείται ο υπολογισμός της φασματικής πυκνότητας ισχύος $S_x(F)$ της $X(t)$ με δύο μεθόδους :

1. **Προσεγγιστική μέθοδος :** υπολογίζοντας αριθμητικές μέσες τιμές πάνω σε K υλοποιήσεις περιοδογραμμάτων .
2. **Θεωρητική μέθοδος :** Χρήση του τύπου : $S_X(F) = \frac{\sigma_X^2}{T} |\Phi(F)|^2$.

1. Για τον προσεγγιστικό υπολογισμό της $S_X(F)$, χρησιμοποιείται ένας βρόγχος for , ο οποίος επαναλαμβάνεται K φορές . Για μεγαλύτερη ακρίβεια επιλέχθηκε K = 1000 . Σε κάθε επανάληψη εκτελείται η συνάρτηση PAM4_function , η οποία επιστρέφει μια 4-PAM συνάρτηση για K διαφορετικές ακολουθίες N/2 bits . Σε κάθε επανάληψη i , υπολογίζεται το περιοδόγραμμα και αποθηκεύεται στην i θέση του πίνακα PXFs . Όταν πλέον ολοκληρωθεί ο βρόγχος , κάθε γραμμή του πίνακα θα περιλαμβάνει ένα διάνυσμα που θα είναι το περιοδόγραμμα μιας από τις K συναρτήσεις X(t) . Τέλος , μετά τον βρόγχο υπολογίζουμε την μέση τιμή κάθε στήλης του πίνακα δηλαδή το άθροισμα μιας τιμής από κάθε περιοδόγραμμα δια το πλήθος των περιοδογραμμάτων.

Η παραπάνω διαδικασία συνοψίζεται στην σχέση

$$\hat{S}_X(F) = \frac{1}{N} \sum_{i=1}^N \frac{|X(\omega_i, F)|^2}{T}.$$

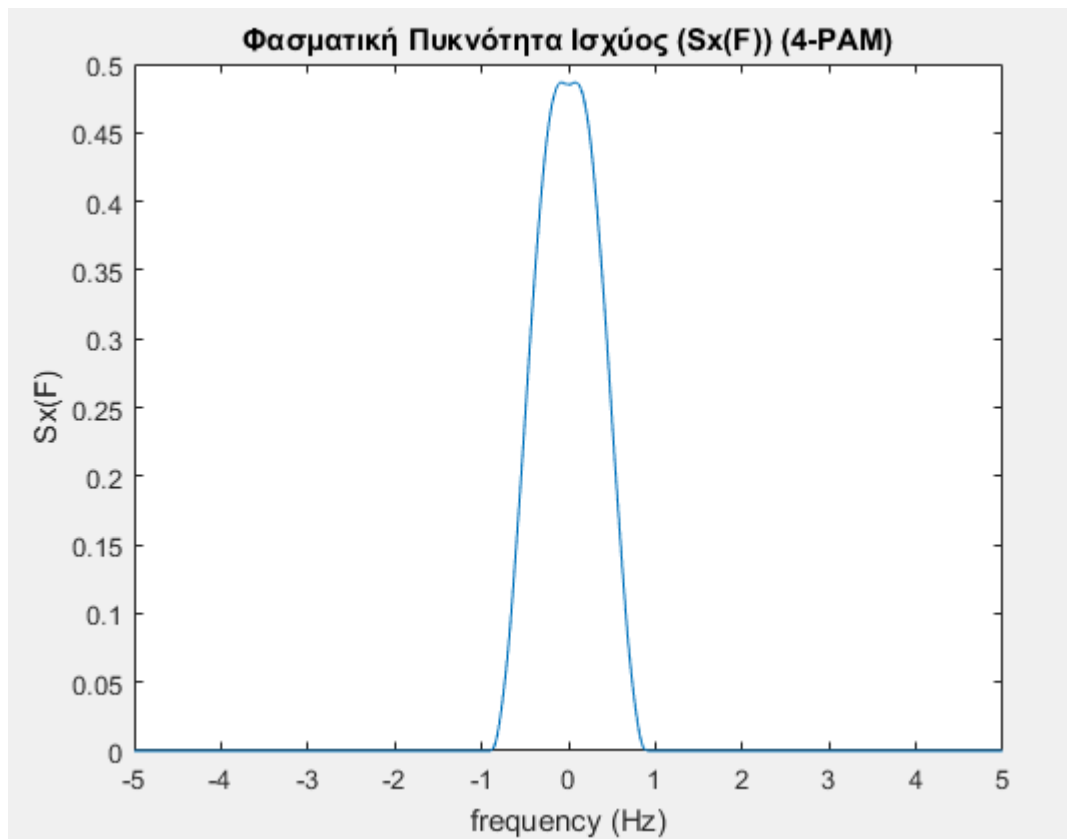
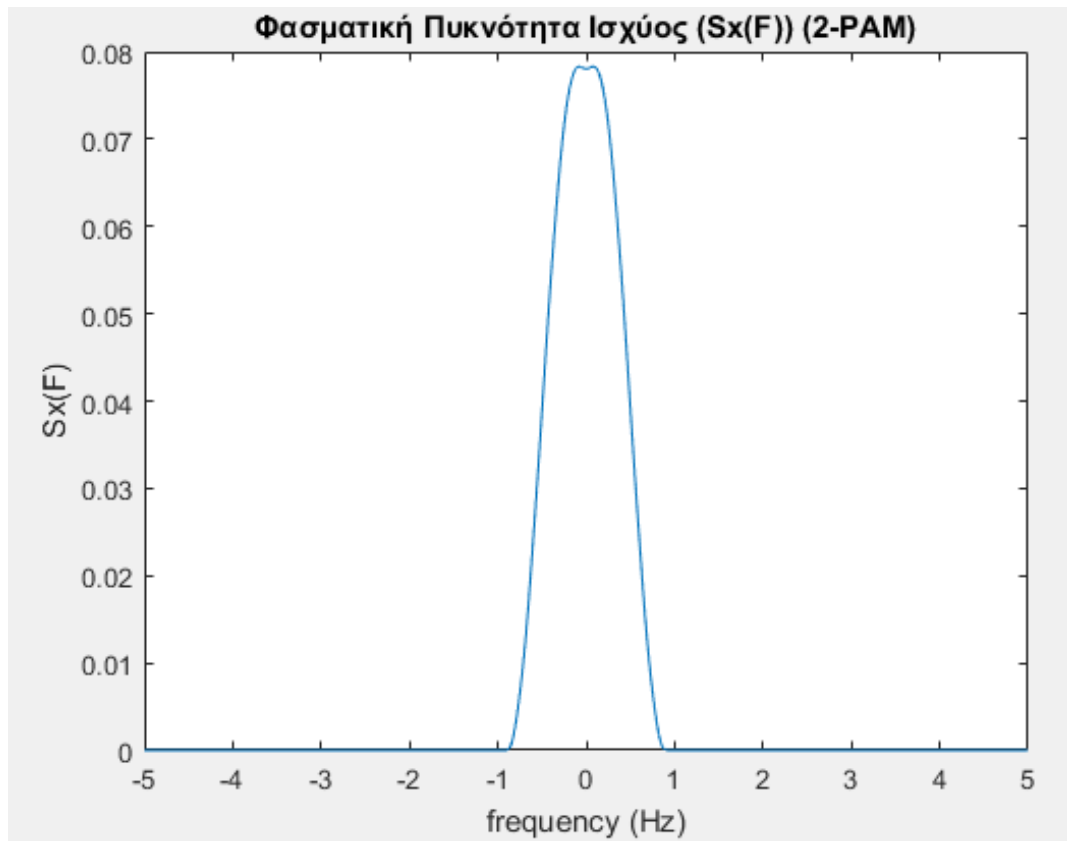
όπου N ο αριθμός των υλοποιήσεων των περιοδογραμμάτων , δηλαδή εδώ N = K .

2. Χρήση της εντολής `Sxftheory = (var(X_t)/T) * power(abs(PHIF),2)*Ts`

Έπειτα σχεδιάζουμε τις δύο κυματομορφές σε ημιλογαριθμική κλίμακα , σε κοινή γραφική παράσταση και παρατηρούμε ότι ταυτίζονται σχεδόν απόλυτα με τις αποκλίσεις να φαίνονται καλύτερα με χρήση μεγέθυνσης .

(v)

Η σύγκριση μεταξύ της φασματικής πυκνότητας ισχύος της X(t) με 2-PAM διαμόρφωση και της φασματικής πυκνότητας ισχύος της X(t) με 4-PAM διαμόρφωση γίνεται καλύτερα σε γραμμική αναπαράσταση :



Παρατηρούμε ότι το εύρος φάσματος είναι περίπου το ίδιο , ωστόσο το πλάτος τιμών της 4-PAM διαμόρφωσης (~ 0.48) είναι σχεδόν το εξαπλάσιο του πλάτους της 2-PAM διαμόρφωσης (~ 0.08) . Το εύρος φάσματος είναι το ίδιο , καθώς καθορίζεται από το εύρος φάσματος της $\Phi(F)$, που είναι κοινή και στις δύο διαμορφώσεις . Αυτό φαίνεται και από τον τύπο :

$$S_X(F) = \frac{\sigma_X^2}{T} |\Phi(F)|^2$$

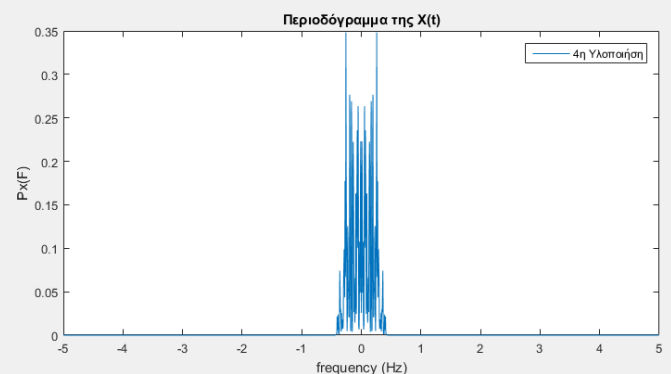
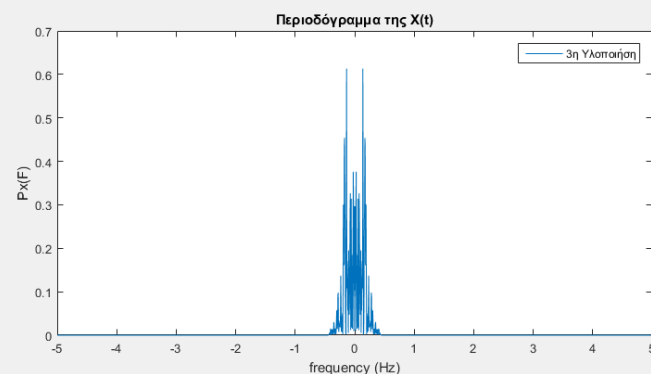
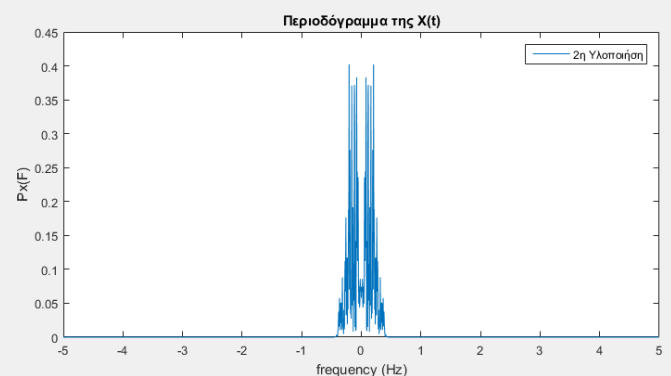
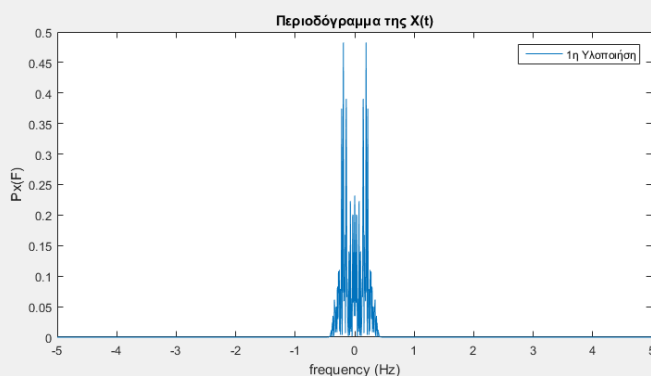
Η διαφορά των πλατών οφείλεται στην κωδικοποίηση των συμβόλων , καθώς οι τιμές στις οποίες αντιστοιχίζουμε τα bits είναι μεγαλύτερες στην 4-PAM , η διασπορά της $X(t)$ (σ_X^2) είναι μεγαλύτερη ,επομένως απαιτείται πολύ μεγαλύτερη ισχύς για την αποστολή τους από τον πομπό στον δέκτη . Η περίοδος T είναι ίδια και στις δύο περιπτώσεις , οπότε δεν επηρεάζει την διαφορά ανάμεσα στα πλάτη .

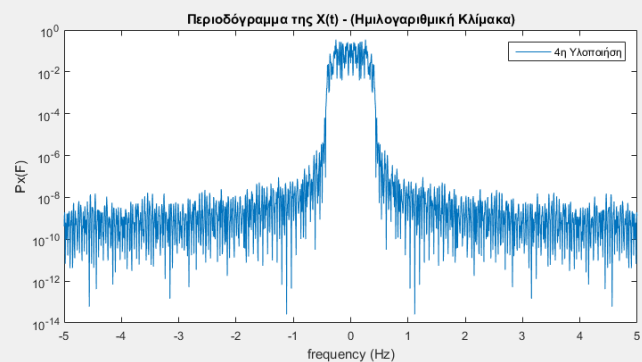
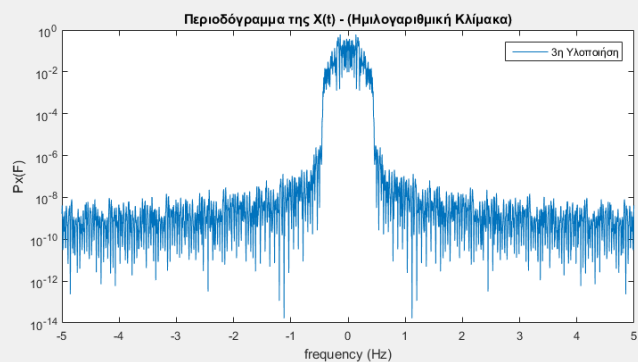
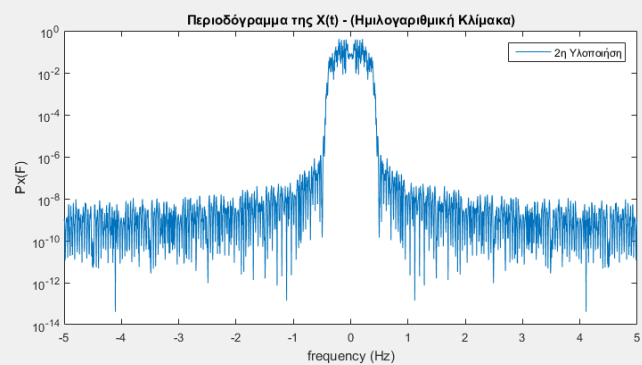
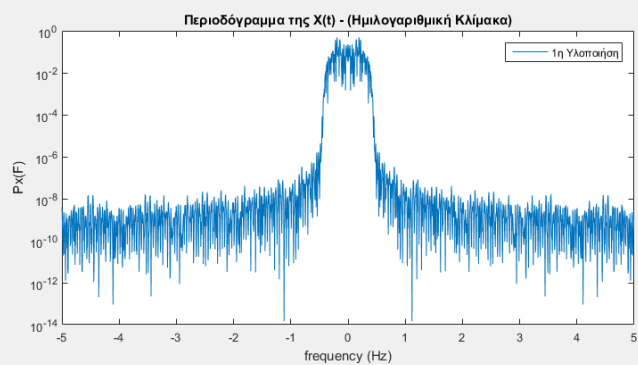
Ερώτημα :

A.5 (10) Να επαναλάβετε το βήμα A.3, θέτοντας περίοδο συμβόλου $T' = 2T$ (να διατηρήσετε την περίοδο δειγματοληψίας T_s ίση με αυτή των προηγούμενων βημάτων).

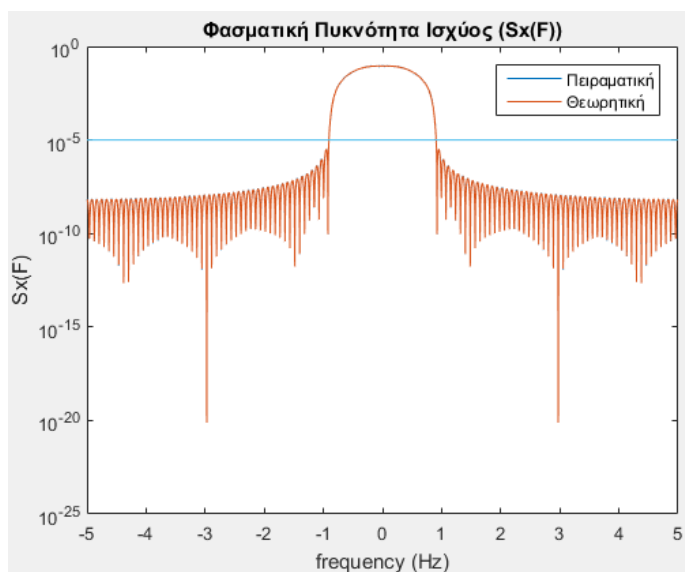
(5) Τι παρατηρείτε σχετικά με το εύρος φάσματος των κυματομορφών σε αυτή την περίπτωση σε σχέση με αυτό των κυματομορφών του βήματος A.3; Μπορείτε να εξηγήσετε το φαινόμενο;

Γραφικές Παραστάσεις :

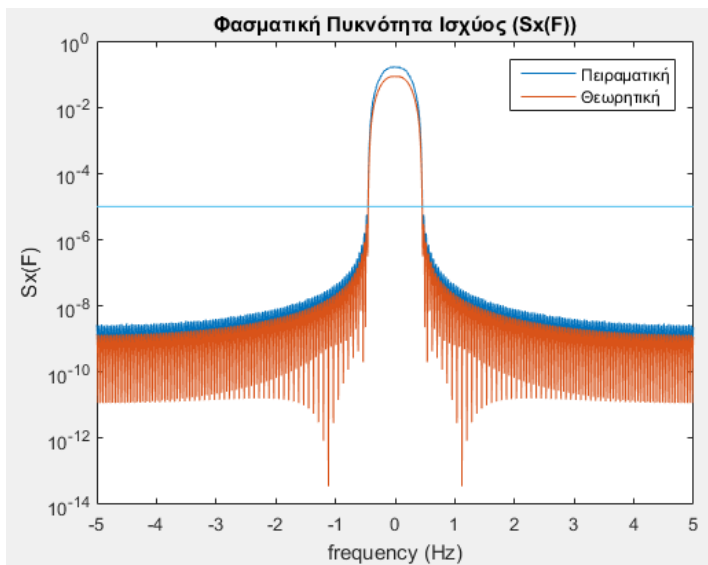




Φασματική πυκνότητα ισχύος για T



Φασματική πυκνότητα ισχύος για $2T$



Κώδικας :

```
N = 100 ;

Tnew = 2*T ;

[phi,t_phi] = srrc_pulse(Tnew, Ts, A, a);
PHIF = fftshift(fft(phi,Nf)*Ts);

%(α)

for i=1:4
    [tx ,X_t] = PAM2_function(N,Ts,over,phi,t_phi) ;
    Ttotal = length(tx);
    XF = fftshift(fft(X_t,Nf)*Ts);

    PXF = power(abs(XF),2)/Ttotal ;

    figure(9)
    subplot(2,2,i)
    plot(F_axis,PXF)
    title(['Περιοδόγραμμα της X(t)'])
    legend([num2str(i) , 'η Υλοποίηση'])
    xlabel('frequency (Hz)');
    ylabel('Px(F) ');

    figure(10)
    subplot(2,2,i)
    semilogy(F_axis,PXF)
    title(['Περιοδόγραμμα της X(t) - (Ημιλογαριθμική Κλίμακα)'])
    legend([num2str(i) , 'η Υλοποίηση'])
    xlabel('frequency (Hz)');
    ylabel('Px(F) ');
end

K = 1000 ;

for i=1:K
    [tx ,X_t] = PAM2_function(N,Ts,over,phi,t_phi) ;
    Ttotal = length(tx);
    XF = fftshift(fft(X_t,Nf)*Ts);
    PXFs(i,:) = power(abs(XF),2)/Ttotal ;
end

SxFapprox = (sum(PXFs,1)./ K) ;
Sxftheory = (var(X_t)/Tnew ) * power(abs(PHIF),2)*Ts ;

figure(11);
semilogy(F_axis,SxFapprox);
title('Φασματική Πυκνότητα Ισχύος (Sx(F))');
xlabel('frequency (Hz)');
ylabel('Sx(F) ');
hold on ;
semilogy(F_axis,Sxftheory);
legend('Πειραματική','Θεωρητική');
c2 = Tnew/power(10,5)* ones(length(F_axis)) ;
plot (F_axis,c2)
hold off ;
```

Σχόλια :

(α)

Το ερώτημα αυτό λύθηκε όπως το ερώτημα Α.3 , με χρήση διπλάσιας περιόδου , άρα και νέου παλμού $\Phi(t)$ με περίοδο $T' = 2T$.

(β)

Παρατηρούμε ότι το εύρος των κυματομορφών των περιοδογραμμάτων και της φασματικής πυκνότητας ισχύος είναι μικρότερο , σχεδόν το μισό , σε σχέση με τις αντίστοιχες κυματομορφές του ερωτήματος Α.3 , όπου η περίοδος είναι $T = T'/2$. Αυτό είναι ιδιαίτερα εμφανές αν κοιτάξουμε το φάσμα γύρω από την αρχή των αξόνων. Στην φασματική πυκνότητα ισχύος , αν θεωρήσουμε μια νοητή γραμμή παράλληλη με τον άξονα των χ κοντά στην τιμή 10^{-5} , κάτω από την οποία θεωρούμε τις τιμές ‘πρακτικά μηδέν’ , η διαφορά είναι πιο προφανής .

Η διαφορά στο εύρος με την αλλαγή της περιόδου , οφείλεται στο γεγονός ότι το εύρος καθορίζεται σε μεγάλο βαθμό από την συνάρτηση $\varphi(t)$ (Square Root Raised Cosine) , που επιλέξαμε , της οποίας το φάσμα δίνεται από την σχέση :

$$W = \frac{1+\alpha}{2*T}$$

Οπότε με τον διπλασιασμό της περιόδου , είχαμε υποδιπλασιασμό του εύρους φάσματος .

Ερώτημα :

Α.6 (2.5) Αν θέλατε να στείλετε δεδομένα όσο το δυνατό ταχύτερα έχοντας διαθέσιμο το ίδιο εύρος φάσματος, θα επιλέγατε 2-PAM ή 4-PAM, και γιατί;

(2.5) Αν το διαθέσιμο εύρος φάσματος είναι πολύ ακριβό, θα επιλέγατε περίοδο συμβόλου T ή $T' = 2T$, και γιατί;

Σχόλια :

(α)

Δεδομένου , ότι και στις δύο περιπτώσεις χρησιμοποιούμε την ίδια περίοδο , δηλαδή στέλνουμε τα σύμβολα με τον ίδιο ρυθμό , θα επέλεγα 4-PAM , καθώς σε κάθε σύμβολο αντιστοιχούν 2 bits , επομένως περισσότερη πληροφορία . Άρα η αποστολή του σήματος από τον πομπό στον δέκτη γίνεται ταχύτερα με 4-PAM διαμόρφωση.

(β)

Θεωρώντας το διαθέσιμο εύρος φάσματος πολύ ακριβό, θα επιλέξουμε $T' = 2T$, καθώς είναι η περίπτωση που το φάσμα του σήματος είναι μικρότερο, όπως εξηγείται παραπάνω.

Ερώτημα :

B. Αρχικά θα λύσουμε ένα θεωρητικό πρόβλημα και κατόπιν θα το επαληθεύσουμε πειραματικά. Έστω η κυματομορφή

$$X(t) = \sum_{n=-\infty}^{\infty} X_n \phi(t - nT)$$

όπου X_n είναι ανεξάρτητα τυχαία σύμβολα, με $E[X_n] = 0$ και $E[X_n^2] = \sigma_X^2$, και $T > 0$ η περίοδος συμβόλου. Η $X(t)$ διαμορφώνει ένα ημιτονοειδές σήμα. Το διαμορφωμένο σήμα είναι το

$$Y(t) = X(t) \cos(2\pi f_0 t + \Theta)$$

όπου Θ είναι τυχαία μεταβλητή, ομοιόμορφα κατανοημένη στο $[0, 2\pi)$, ανεξάρτητη των X_n , για κάθε n .

B.1 (10) Να υπολογίσετε αναλυτικά τις ποσότητες $E[Y(t)]$ και $E[Y(t + \tau)Y(t)]$.

Ερώτημα :

B.2 (10) Να χαρακτηρίσετε την $Y(t)$ ως προς τη (κυκλο)-στασιμότητα, υπό την ευρεία έννοια.

Ερώτημα :

B.3 (10) Να υπολογίσετε τη φασματική πυκνότητα ισχύος της $Y(t)$, $S_Y(F)$, συναρτήσει της $S_X(F)$ και της συχνότητας διαμόρφωσης, f_0 .

Σχόλια :

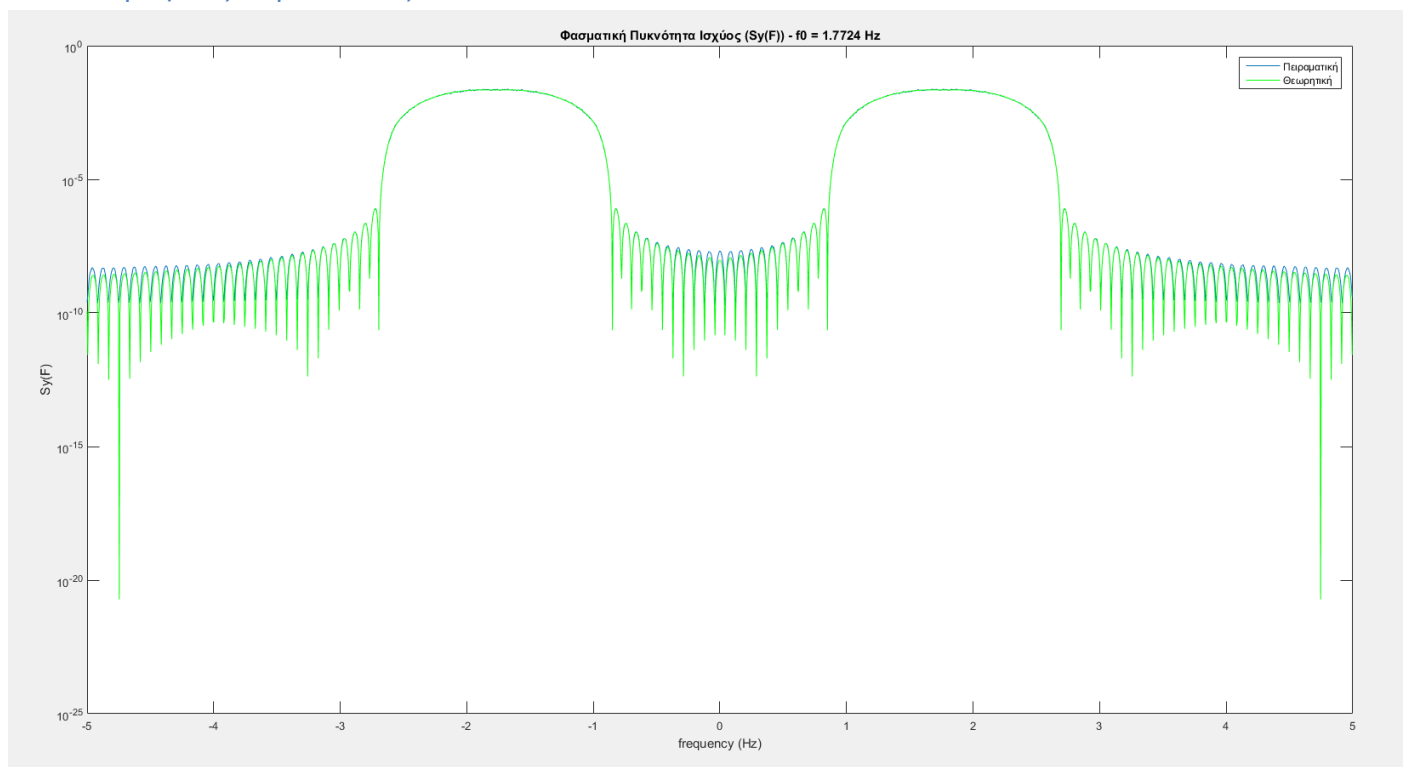
Οι απαντήσεις των παραπάνω ερωτημάτων είναι θεωρητικές εφαρμογές των στοχαστικών διαδικασιών και έχουν απαντηθεί χειρόγραφα :

Ερώτημα :

B.4 (20) Να επαληθεύσετε πειραματικά το παραπάνω αποτέλεσμα. Πιο συγκεκριμένα, να επιλέξετε συχνότητα διαμόρφωσης $\frac{1}{2T} < f_0 < \frac{F_s}{2} - \frac{1}{2T}$ και να διαμορφώσετε κυματομορφές που προκύπτουν από διαμόρφωση 2-PAM.

- (α) Να εκτιμήσετε τη φασματική πυκνότητα ισχύος του διαμορφωμένου 2-PAM σήματος, μέσω περιοδογραμμάτων.
- (β) Να σχεδιάσετε σε κοινό semilogy τη θεωρητική και την πειραματική φασματική πυκνότητα ισχύος.

Γραφικές Παραστάσεις :



Κώδικας :

```
%B4

T = 1 ;
over = 10 ;
Ts = T/over ; % Περίοδος δειγματοληψίας
Fs = 1/Ts ; % Συχνότητα δειγματοληψίας
A = 6;
a = 0.8 ;

first = 1+a/(2*T); % 1/(2*T)
last = (Fs/2) - first;
f0 = (last-first).*rand(1,1) + first;

theta = unifrnd(0-Ts,2*pi,1,1) ; % [0,2π)
```

```

[phi,t_phi] = srrc_pulse(T, Ts, A, a);

Nf = 2048; % Αριθμός δειγμάτων
f_axis = [-1/2 : 1/Nf: 1/2 - (1/Nf)]; % Ανοικτό διάστημα δεξιά ,
κλειστό αριστερά
F_axis = f_axis*Fs;

PHIF = fftshift(fft(phi,Nf)*Ts);

% (α)

N = 100 ;
K = 1000 ;

for i=1:K
    [tx ,X_t] = PAM2_function(N,Ts,over,phi,t_phi) ;
    Ttotal = length(tx);
    Y_t = X_t .* cos(2*pi*f0*tx + theta) ;
    YF = fftshift(fft(Y_t,Nf)*Ts);
    PYFs(i,:) = power(abs(YF),2)/Ttotal ;
end

SYFexperiment = (sum(PYFs,1)./ K) ; % Είναι η μέση τιμή κάθε στήλης
του πίνακα δηλαδή μιας τιμής από κάθε περιοδόγραμμα

% (β)

Sxftheory = (var(X_t)/T) * power(abs(PHIF),2)*Ts ;

F_axis1 = F_axis - f0 ;
F_axis2 = F_axis + f0 ;

f_axis = [-1/2 : 1/Nf: 1/2 - (1/Nf)]; % Ανοικτό διάστημα δεξιά ,
κλειστό αριστερά
F_axis = f_axis*Fs;

SXFTH_LEFT = 0.25 * Sxftheory ;
SXFTH_RIGHT = 0.25 * Sxftheory ;

% Αφαίρεση των τιμών , όπου τα δύο SxF επικαλύπτονται

k1 = find(F_axis1 >= 0) ;
k2 = find(F_axis2 <= 0) ;

for i=k1
    SXFTH_LEFT(i) = 0 ;
end

for i=k2
    SXFTH_RIGHT(i) = 0 ;
end

% Αφαίρεση των τιμών που τα δύο SxF βγαίνουν εκτός του φάσματος του
% πειραματικού SyF

k3 = find(F_axis1 < min(F_axis)) ;
k4 = find(F_axis2 > max(F_axis)) ;

```

```

for i=k3
    SXFTH_LEFT(i) = 0 ;
end

for i=k4
    SXFTH_RIGHT(i) = 0 ;
end

figure(1)
semilogy(F_axis,SXFexperiment);
title(['Φασματική Πυκνότητα Ισχύος (Sy(F)) - f0 = ',num2str(f0) , '
Hz']);
xlabel('frequency (Hz)');
ylabel('Sy(F)');
hold on
semilogy(F_axis1,SXFTH_LEFT,'g');
semilogy(F_axis2,SXFTH_RIGHT,'g');
legend('Πειραματική','Θεωρητική');
hold off ;

```

Σχόλια :

(α) , (β)

Για την εύρεση της πειραματικής φασματικής πυκνότητας ισχύος , χρησιμοποιούμε την ίδια μεθοδολογία , όπως στο μέρος Α , με την διαφορά ότι το σήμα μας είναι τώρα διαμορφωμένο με ένα συνημίτονο συχνότητας f_0 με φάση Θ .

Η συχνότητα f_0 οποία κυμαίνεται στο διάστημα $(1/2 \cdot T, F_s/2 - 1/2 \cdot T)$ και αλλάζει σε κάθε εκτέλεση του κώδικα με χρήση της συνάρτησης **rand** . Ο λόγος που επιλέχθηκε το $1/2T$ ως ελάχιστη τιμή είναι για να αποφύγουμε το φαινόμενο της επικάλυψης . Ακόμα καλύτερη τιμή για ελάχιστη συχνότητα διαμόρφωσης είναι το $1+a/2T$ καθώς το $X(t)$ και το $S_x(F)$ των οποίων το φάσμα καθορίζεται από την $\Phi(F)$, έχει φάσμα από το $-1+a/2T$ έως το $1+a/2T$, άρα θέλουμε συχνότητα μεγαλύτερη της μέγιστης συχνότητας $(1+a/2T)$. Ο λόγος που επιλέχθηκε το $F_s/2 - 1/2 \cdot T$, ως μέγιστη τιμή είναι επειδή έχουμε ορίσει τον άξονα συχνοτήτων στο διάστημα $[-F_s/2, F_s/2)$. και πρέπει οι διαμορφωμένοι λοβοί να είναι εντός αυτού , χωρίς να χάνεται κάποιο τμήμα τους .

Η φάση Θ διαφέρει σε κάθε εκτέλεση του κώδικα και επειδή η Θ είναι τυχαία μεταβλητή με ομοιόμορφη κατανομή στο διάστημα $[0,2\pi)$, παράγεται από την συνάρτηση **theta = unifrnd(0-Ts,2*pi,1,1)** ; .

Κατά τους θεωρητικούς υπολογισμούς των προηγούμενων ερωτημάτων του μέρους Β , προέκυψε ότι η $S_y(F)$ είναι η $S_x(F)$ μετατοπισμένη στις συχνότητες f_0 και $-f_0$, με κλιμακωμένο πλάτος . Αυτό επιβεβαιώνεται από την προσεγγιστική μέθοδο .

Για τον σχεδιασμό της θεωρητικής πυκνότητας ισχύος του $Y(t)$, γνωρίζουμε ότι :

$$S_y(F) = \frac{1}{4} (S_x(F - f_0) + S_x(F + f_0))$$

Για να σχεδιάσουμε το $S_y(F)$ δημιουργούμε δύο νέους άξονες συχνοτήτων , αυξημένους κατά f_0 και $-f_0$, ώστε να προσομοιώσουμε την μετατόπιση των δύο $S_x(F)$. Στην συνέχεια , μηδενίζουμε τις τιμές για τις οποίες τα δύο $S_x(F)$ καλύπτονται , δηλαδή το μετατοπισμένο αριστερά ($S_x(F+f_0)$) για συχνότητες μεγαλύτερες από το 0 και το μετατοπισμένο δεξιά ($S_x(F-f_0)$) για συχνότητες μικρότερες από το 0 , λόγω των αλλαγμένων κατά f_0 αξόνων συχνοτήτων.

Επιπλέον , μηδενίζουμε τις τιμές των δύο $S_x(F)$ για τις συχνότητες που δεν παρουσιάζεται ο θεωρητικός υπολογισμός για μεγαλύτερη ακρίβεια .

Τέλος , σχεδιάζουμε τα δύο $S_x(F)$ και το $S_y(F)$ σε κοινό semilogy , δίνοντας τον ίδιο χρωματισμό στα $S_x(F)$. Παρατηρούμε ότι το πειραματικό με το θεωρητικό , ταυτίζονται σε μεγάλο βαθμό .

Συνολικός Κώδικας :

Συναρτήσεις

```
function [tx,Xt] = PAM2_function (N,Ts,over,phi,t_phi)

b = (sign(randn(N,1))+1)/2;
X = bits_to_2PAM(b) ;

X_delta= 1/Ts * upsample(X,over);
t = 0:Ts:N - Ts ;

Xt = conv(phi,X_delta)*Ts ;
tx = linspace(t(1)+ t_phi(1),t(end)+ t_phi(end) ,length(Xt));

function [tx,Xt]= PAM4_function (N,Ts,over,phi,t_phi)

b = zeros(N/2,2);
b(:,1) = (sign(randn(N/2,1))+1)/2 ;
b(:,2) = (sign(randn(N/2,1))+1)/2 ;
X = bits_to_4PAM(b) ;

X_delta= 1/Ts * upsample(X,over);
t = 0:Ts:(N/2) - Ts ;

Xt = conv(phi,X_delta) * Ts ;
tx = linspace(t(1)+ t_phi(1),t(end)+ t_phi(end) ,length(Xt)) ;
```

Βασικός Κώδικας

Άσκηση A

```
clc ;
clear all ;
close all ;

%A1

Nf = 2048; % Αριθμός δειγμάτων
```



```

T = 0.01 ;
over = 10 ;
Ts = T/over ; % Περίοδος δειγματοληψίας
Fs = 1/Ts ; % Συχνότητα δειγματοληψίας
A = 4;
a = 0.4 ;

f_axis = [-1/2 : 1/Nf : 1/2 - (1/Nf)]; % Ανοικτό διάστημα δεξιά ,
κλειστό αριστερά
F_axis = f_axis*Fs;

[phi,t_phi] = srrc_pulse(T, Ts, A, a);
PHIF = fftshift(fft(phi,Nf)*Ts);

figure(1)
semilogy(F_axis,power(abs(PHIF),2))
title('Energy Spectrum of SRRC(t) with parameters (T = 0.01,Ts =
0.001,A = 4,a = 0.4)');
xlabel('frequency (Hz)');
ylabel('|Φ(F)|^2');

%%%%%%%%%%%%%%%%%%%%%%%%%%%%%%%%%%%%%%%%%%%%%%%%%%%%%%%%%%%%%%%%%%%%%%%%

T = 1 ;
over = 10 ;
Ts = T/over ; % Περίοδος δειγματοληψίας
Fs = 1/Ts ; % Συχνότητα δειγματοληψίας
A = 6;
a = 0.8 ;

f_axis = [-1/2 : 1/Nf : 1/2 - (1/Nf)]; % Ανοικτό διάστημα δεξιά ,
κλειστό αριστερά
F_axis = f_axis*Fs;

[phi,t_phi] = srrc_pulse(T, Ts, A, a);
PHIF = fftshift(fft(phi,Nf)*Ts);

figure(2)
semilogy(F_axis,power(abs(PHIF),2))
title('Energy Spectrum of SRRC(t) with parameters (T = 1,Ts = 0.1,A =
6,a = 0.8)');
xlabel('frequency (Hz)');
ylabel('|Φ(F)|^2');

%A2

N = 100 ;

%%%%%%%%%%%%%%%%%%%%%%%%%%%%%%%%%%%%%%%%%%%%%%%%%%%%%%%%%%%%%%%%%%%%%%%% Δημιουργία 2-PAM συνάρτησης %%%%%%%%%
[tx,X_t] = PAM2_function(N,Ts,over,phi,t_phi) ;

figure(3)
plot(tx,X_t)
title('2-PAM function');
xlabel('time (sec)');
ylabel('X(t) = Sum(Xn*Φ(t-kT))');

%A3

```

```

% (α)

NUMOFIMPL = 4 ;

for i=1:NUMOFIMPL
    [tx ,X_t] = PAM2_function(N,Ts,over,phi,t_phi) ;
    Ttotal = length(tx);
    XF = fftshift(fft(X_t,Nf)*Ts);

    PXF = power(abs(XF),2)/Ttotal ;

    figure(4)
    subplot(2,2,i)
    plot(F_axis,PXF)
    title(['Περιοδόγραμμα της X(t)'])
    legend([num2str(i) , 'η Υλοποίηση'])
    xlabel('frequency (Hz)');
    ylabel('Px(F)');

    figure(5)
    subplot(2,2,i)
    semilogy(F_axis,PXF)
    title(['Περιοδόγραμμα της X(t) - (Ημιλογαριθμική Κλίμακα)'])
    legend([num2str(i) , 'η Υλοποίηση'])
    xlabel('frequency (Hz)');
    ylabel('Px(F)');
end

% (β), % (γ)

N = 100 ;
K = 1000 ;

for i=1:K

    [tx ,X_t] = PAM2_function(N,Ts,over,phi,t_phi) ;
    Ttotal = length(tx);
    XF = fftshift(fft(X_t,Nf)*Ts);
    PXFs(i,:) = power(abs(XF),2)/Ttotal ;
end

SxFapprox = (sum(PXFs,1)./ K) ; % Είναι η μέση τιμή κάθε στήλης του
πίνακα δηλαδή μιας τιμής από κάθε περιοδόγραμμα
Sxftheory = (var(X_t)/T ) * power(abs(PHIF),2)*Ts ;

figure(6);
semilogy(F_axis,SxFapprox);
title('Φασματική Πυκνότητα Ισχύος (Sx(F))');
xlabel('frequency (Hz)');
ylabel('Sx(F)');
hold on ;
semilogy(F_axis,Sxftheory);
legend('Πειραματική','Θεωρητική');
c2 = T/power(10,5)* ones(length(F_axis)) ;
plot (F_axis,c2)
hold off ;

% figure(12);

```

```

% plot(F_axis,Sxftheory);
% title('Φασματική Πυκνότητα Ισχύος (Sx(F)) (2-PAM)');
% xlabel('frequency (Hz)');
% ylabel('Sx(F)');

%A4

% (α)

N = 100 ;

%%%%%%%%%%%%%%%%%%%%%%%%%%%%%%%%%%%%%%%%%%%%%%%%%%%%%%%%%%%%%%%%%%%%%%%% Δημιουργία 4-PAM συνάρτησης %%%%%%%%%%%%%%%%%%%%%%%%%%%%%%%%%%%%%%%%%%%%%%%%%%%%%%%%%%%%%%%%%%%%%%%%%
[tx ,X_t] = PAM4_function (N,Ts,over,phi,t_phi) ;

figure(7)
plot(tx,X_t)
title('4-PAM function');
xlabel('time (sec)');
ylabel('X(t) = Sum(Xn*Φ(t-kT))');

% (β)

PXF = power(abs(XF),2)/Ttotal ;

N = 100 ;
K = 1000 ;

for i=1:K
    % PXFs = zeros (100,length(F_axis)) ;
    [tx ,X_t] = PAM4_function(N,Ts,over,phi,t_phi) ;
    Ttotal = length(tx);
    XF = fftshift(fft(X_t,Nf)*Ts);
    PXFs(i,:) = power(abs(XF),2)/Ttotal ;
end

SxFapprox = (sum(PXFs,1)./ K) ;
Sxftheory = (var(X_t)/T ) * power(abs(PHIF),2)*Ts ;

figure(8);
semilogy(F_axis,SxFapprox);
title('Φασματική Πυκνότητα Ισχύος (Sx(F))');
xlabel('frequency (Hz)');
ylabel('Sx(F)');
hold on ;
semilogy(F_axis,Sxftheory);
legend ('Πειραματική','Θεωρητική');
hold off ;

% figure(13);
% plot(F_axis,Sxftheory);
% title('Φασματική Πυκνότητα Ισχύος (Sx(F)) (4-PAM)');
% xlabel('frequency (Hz)');
% ylabel('Sx(F)');

%A5

N = 100 ;

```

```

Tnew = 2*T ;

[phi,t_phi] = srsrc_pulse(Tnew, Ts, A, a);
PHIF = fftshift(fft(phi,Nf)*Ts);

% (α)

for i=1:4
    [tx ,X_t] = PAM2_function(N,Ts,over,phi,t_phi) ;
    Ttotal = length(tx);
    XF = fftshift(fft(X_t,Nf)*Ts);

    PXF = power(abs(XF),2)/Ttotal ;

    figure(9)
    subplot(2,2,i)
    plot(F_axis,PXF)
    title(['Περιοδόγραμμα της X(t)'])
    legend([num2str(i) , 'η Υλοποίηση'])
    xlabel('frequency (Hz)');
    ylabel('Px(F)');

    figure(10)
    subplot(2,2,i)
    semilogy(F_axis,PXF)
    title(['Περιοδόγραμμα της X(t) - (Ημιλογαριθμική Κλίμακα)'])
    legend([num2str(i) , 'η Υλοποίηση'])
    xlabel('frequency (Hz)');
    ylabel('Px(F)');
end

K = 1000 ;

for i=1:K
    [tx ,X_t] = PAM2_function(N,Ts,over,phi,t_phi) ;
    Ttotal = length(tx);
    XF = fftshift(fft(X_t,Nf)*Ts);
    PXFs(i,:) = power(abs(XF),2)/Ttotal ;
end

SxFapprox = (sum(PXFs,1)./ K) ;
Sxftheory = (var(X_t)/Tnew ) * power(abs(PHIF),2)*Ts ;

figure(11);
semilogy(F_axis,SxFapprox);
title('Φασματική Πυκνότητα Ισχύος (Sx(F))');
xlabel('frequency (Hz)');
ylabel('Sx(F)');
hold on ;
semilogy(F_axis,Sxftheory);
legend('Πειραματική','Θεωρητική');
c2 = T/power(10,5)* ones(length(F_axis)) ;
plot (F_axis,c2)
hold off ;

```

Άσκηση B

```

clc ;
clear all ;
close all ;

```

```

%B4

T = 1 ;
over = 10 ;
Ts = T/over ; % Περίοδος δειγματοληψίας
Fs = 1/Ts ; % Συχνότητα δειγματοληψίας
A = 6;
a = 0.8 ;

first = 1+a/(2*T); % 1/(2*T)
last = (Fs/2) - first;
f0 = (last-first).*rand(1,1) + first;

theta = unifrnd(0-Ts,2*pi,1,1) ; % [0,2π)

[phi,t_phi] = srrc_pulse(T, Ts, A, a);

Nf = 2048; % Αριθμός δειγμάτων
f_axis = [-1/2 : 1/Nf: 1/2 - (1/Nf)]; % Ανοικτό διάστημα δεξιά ,
κλειστό αριστερά
F_axis = f_axis*Fs;

PHIF = fftshift(fft(phi,Nf)*Ts);

% (α)

N = 100 ;
K = 1000 ;

for i=1:K
    [tx ,X_t] = PAM2_function(N,Ts,over,phi,t_phi) ;
    Ttotal = length(tx);
    Y_t = X_t .* cos(2*pi*f0*tx + theta) ;
    YF = fftshift(fft(Y_t,Nf)*Ts);
    PYFs(i,:) = power(abs(YF),2)/Ttotal ;
end

SYFexperiment = (sum(PYFs,1)./ K) ; % Είναι η μέση τιμή κάθε στήλης
του πίνακα δηλαδή μιας τιμής απο κάθε περιοδόγραμμα

% (β)

Sxftheory = (var(X_t)/T) * power(abs(PHIF),2)*Ts ;

F_axis1 = F_axis - f0 ;
F_axis2 = F_axis + f0 ;

f_axis = [-1/2 : 1/Nf: 1/2 - (1/Nf)]; % Ανοικτό διάστημα δεξιά ,
κλειστό αριστερά
F_axis = f_axis*Fs;

SXFTH_LEFT = 0.25 * Sxftheory ;
SXFTH_RIGHT = 0.25 * Sxftheory ;

% Αφαίρεση των τιμών , όπου τα δύο SxF επικαλύπτονται

k1 = find(F_axis1 >= 0) ;

```

```

k2 = find(F_axis2 <= 0) ;

for i=k1
    SXFTH_LEFT(i) = 0 ;
end

for i=k2
    SXFTH_RIGHT(i) = 0 ;
end

% Αφαίρεση των τιμών που τα δύο SxF βγαίνουν εκτός του φάσματος του
% πειραματικού SyF

k3 = find(F_axis1 < min(F_axis)) ;
k4 = find(F_axis2 > max(F_axis)) ;

for i=k3
    SXFTH_LEFT(i) = 0 ;
end

for i=k4
    SXFTH_RIGHT(i) = 0 ;
end

figure(1)
semilogy(F_axis,SyFexperiment);
title(['Φάσματική Πυκνότητα Ισχύος (Sy(F)) - f0 = ',num2str(f0) , '
Hz']);
xlabel('frequency (Hz)');
ylabel('Sy(F)');
hold on
semilogy(F_axis1,SXFTH_LEFT,'g');
semilogy(F_axis2,SXFTH_RIGHT,'g');
legend ('Πειραματική','Θεωρητική');
hold off ;

```